

СПЕКТР МАЛЫХ ВОЗМУЩЕНИЙ ПЛОСКОГО ТЕЧЕНИЯ  
КУЭТТА — ПУАЗЕЙЛЯ

А. М. Сагалаков

(Новосибирск)

Исследуется спектр малых возмущений плоского течения Куэтта — Пуазейля. Проведена классификация возмущений согласно их поведению при больших волновых числах. Прослежены изменения, происходящие в спектре при переходе от течения Пуазейля к течению Куэтта, когда число Рейнольдса фиксировано. Рассмотрено поведение возмущений в зависимости от числа Рейнольдса.

1. Рассматривается стационарное течение вязкой несжимаемой жидкости между параллельными пластинами, производимое градиентом давления и относительным движением пластин. Задача гидродинамической устойчивости сводится к анализу спектра собственных значений уравнения Орра — Зоммерфельда

$$\varphi^{IV} - 2\alpha^2\varphi^{II} + \alpha^4\varphi = i\alpha R [(u - c)(\varphi^{II} - \alpha^2\varphi) - u''\varphi] \quad (1.1)$$

с граничными условиями

$$\varphi(\pm 1) = \varphi'(\pm 1) = 0 \quad (1.2)$$

Здесь  $\varphi(y)$  — амплитуда функции тока возмущения,  $\alpha$  — волновое число,  $R$  — число Рейнольдса,  $u$  — профиль скорости,  $c = X + iY$  — комплексная фазовая скорость возмущения, собственное значение задачи. Отрицательные  $Y$  соответствуют затуханию возмущения, положительные — росту. В качестве единицы длины выбрана полуширина канала, за единицу скорости принята сумма скорости потока на оси и скорости верхней пластины  $y = 1$ . Выражение для  $u$  имеет вид

$$u = (1 - A)(1 - y^2) + Ay \quad (1.3)$$

При изучении задачи на собственные значения (1.1), (1.2) чаще всего ограничиваются исследованием нейтральных возмущений. Между тем в ряде задач, например для развития нелинейной теории, необходимо изучение всего спектра малых возмущений.

Полный спектр малых возмущений для асимметричных профилей ранее не исследовался. Нейтральные возмущения в рассматриваемом течении изучались Поттером [1] и Хэйном [2], которые получили достаточно совпадающие результаты.

2. При заданных  $A$ ,  $R$ ,  $\alpha$  имеется счетное множество собственных значений  $c_n$ . Для малых и больших  $\alpha$  можно получить асимптотические выражения для  $c_n$ . Применяя полученные в [3] результаты, нетрудно найти асимптотические выражения для собственных значений при малых  $\alpha$ . Они имеют вид

$$Y_n = -\delta_n(\alpha R)^{-1} \quad (2.1)$$

$$X_n = (1 - A)[^{2/3} - 5(2\delta_n)^{-1}] \quad (n = 1, 3, 5, \dots) \quad (2.2)$$

$$X_n = (1 - A)[^{2/3} + 5(6\delta_n)^{-1}] \quad (n = 2, 4, 6, \dots)$$

$$\delta_n = ^{1/4}\pi^2(n + 1)^2 \quad (n = 1, 3, 5, \dots)$$

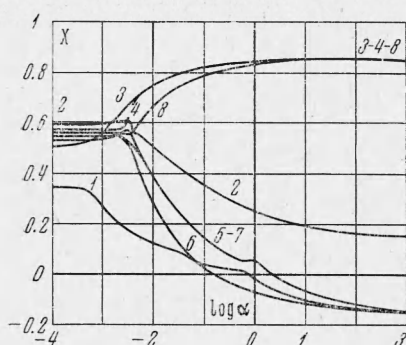
Для  $n = 2, 4, 6, \dots$  значение  $\delta_n$  находится из уравнения

$$\operatorname{tg} \sqrt{\delta_n} = \sqrt{\delta_n}$$

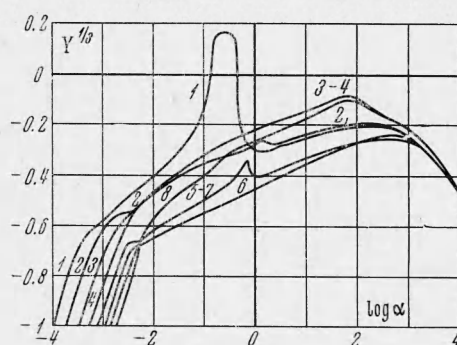
Собственные значения, определяемые формулами (2.2), занумерованы в порядке возрастания  $|Y_n|$ . Спектральная нумерация при произвольном  $\alpha$  будет производиться в соответствии с порядком расположения  $c_n$  при малых  $\alpha$ . Асимптотическое выражение для  $Y_n$  при больших волновых числах записывается в виде

$$Y_n = -\alpha/R \quad (n \ll \alpha) \quad (2.3)$$

Если  $n \gg 1$ , то при ограниченных  $R$  собственные значения близки к соответствующим величинам в покоящейся жидкости.



Фиг. 1



Фиг. 2

Для нахождения  $c_n$  в интервале между асимптотическими значениями использовался численный метод решения задачи на собственные значения для обыкновенных дифференциальных уравнений с малым параметром при старшей производной, развитый в работах [4-6]. Численные расчеты проводились на БЭСМ-6. Собственные значения находились с заданной точностью (три значащих цифры). Контрольные вычисления были выполнены для течения Паузейля и дали хорошее совпадение с численными результатами, полученными в [7].

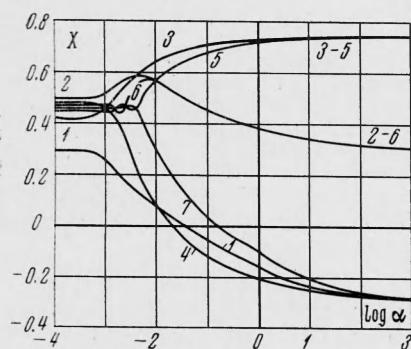
3. Проследим изменения, происходящие в спектре малых возмущений с ростом  $A$  от нуля при фиксированном  $R = 10^5$ . Когда  $A = 0$  (течение Паузейля), численные расчеты дают картину спектра, вполне аналогичную полученной в [8] для  $R = 15\,000$ . Его характерной особенностью служит четкое разделение возмущений с ростом волнового числа на два класса: пристенные возмущения, которые локализуются у стенок канала, с фазовой скоростью, стремящейся к нулю, и внутренние возмущения, которые локализуются у оси канала, с фазовой скоростью, стремящейся к максимальной скорости потока.

Пристенными оказываются при этом возмущения с  $n = 1, 2, 5, 8, \dots$ , а внутренними — возмущения с  $n = 3, 4, 6, 7, \dots$ . При наличии движения пластин характерная особенность разделения возмущений сообразно их поведению при больших волновых числах сохраняется. В числе пристенных возмущений будем различать верхние и нижние, локализующиеся при больших  $\alpha$  соответственно у верхней и нижней пластин.

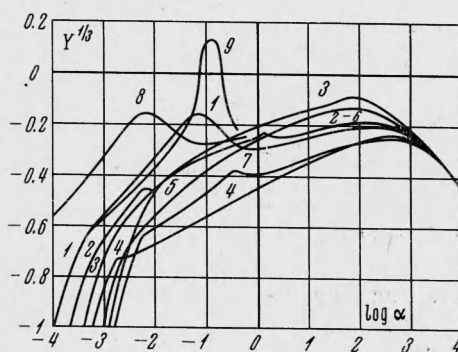
На фиг. 1, 2 представлена зависимость  $c_n(\alpha)$  для первых восьми спектральных номеров при  $A = 0.15$ . Течение в этом случае неустойчиво и к неустойчивости приводит первое собственное значение, так же как и в течении Паузейля. Соответствующий максимум  $Y_1(\alpha)$  при этом смещен в сторону меньших  $\alpha$  и неустойчивость связана с наличием критической точки у нижней пластины. Критическая точка у верхней пластины исчезает при значительно меньших  $A$ . Порядок разделения возмущений на пристенные и внутренние до  $n = 5$  включительно остается паузейлевым. Однако возмущения, которым отвечают большие спектральные номера, распределяются иным образом, а именно: возмущения с номерами 6, 7 становятся нижними пристенными, а возмущение с  $n = 8$  становится внутренним.

В дальнейшем рассматривается конечное число спектральных номеров, начиная с  $n_* = 1$ , поэтому имеет смысл отметить преобладание числа нижних пристенных возмущений над верхними и общее преобладание числа пристенных возмущений над внутренними в отличие от течения Пуазейля.

Поведение  $X_n$  и  $Y_n$  в зависимости от  $\alpha$  соответствует асимптотическим выражениям (2.1), (2.2) при  $\alpha \sim 10^{-4}$ , асимптотическому выражению (2.3) при  $\alpha \sim 10^4$ . Утрата симметрии профилем скорости при увеличении  $A$  от нуля приводит к изменениям в порядке слияния отдельных собственных значений, принадлежащих различным спектральным номерам. Если  $c_3(\alpha)$ ,  $c_4(\alpha)$  ведут себя аналогично пуазейлеву случаю, т. е. сливаются при небольших  $\alpha$ , то в остальном заметны существенные изменения: не наблюдается того слияния пристенных собственных значений в области  $\alpha \gg 1$ , которое



Фиг. 3

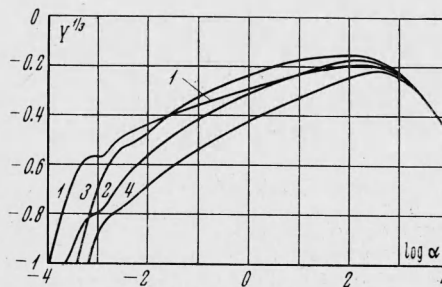


Фиг. 4

имеет место при  $A = 0$ . Соответствующие зависимости  $X_n(\alpha)$ ,  $Y_n(\alpha)$  заметно разделены одна от другой почти до асимптотической области. С другой стороны, при малых  $\alpha$  сливаются собственные значения  $c_5(\alpha)$  и  $c_7(\alpha)$ . Обращают на себя внимание замысловатые пересечения зависимостей  $X_n(\alpha)$  и  $Y_n(\alpha)$  и наличие локальных максимумов  $Y_2(\alpha)$ ,  $Y_{5,7}(\alpha)$  при  $\alpha \sim 1$ .

Вблизи максимума зависимости  $Y_{3,4}(\alpha)$  соответствующие собственные значения расслаиваются на небольшую величину и затем вновь сливаются (это не отображено на фиг. 2).

Дальнейшее увеличение  $A$  приводит к сложным изменениям в спектре. На фиг. 3, 4 (кривые 1—7) представлена зависимость  $c_n(\alpha)$  для первых семи спектральных номеров при  $A = 0.3$ . Порядок разделения возмущений на пристенные и внутренние таков: номера 1, 4, 7, ... отвечают нижним пристенным возмущениям, номера 2, 6, ... — верхним пристенным, номера 3, 5, ... — внутренним возмущениям. С ростом  $A$  сглаживается асимметрия в разделении пристенных возмущений на верхние и нижние. Это происходит как за счет уменьшения числа внутренних возмущений, так и за счет изменений в распределении пристенных возмущений. Слияние собственных значений  $c_2(\alpha)$ ,  $c_6(\alpha)$  происходит приблизительно при том же  $\alpha$ , что и в случае слияния при  $A = 0.15$ .



Фиг. 5

Разделение зависимостей  $Y_n(\alpha)$ , когда  $\alpha \gg 1$ , становится более четким, что хорошо иллюстрируется поведением  $Y_1(\alpha)$  и  $Y_{2,6}(\alpha)$ . Наиболее сложное поведение  $c_n(\alpha)$  прослеживается в диапазоне изменения  $\alpha = 10^{-3} \div 10^{-2}$ , где асимптотические выражения (2.1), (2.2) уже существенно неприменимы. В районе «опасных» волновых чисел имеется характерный максимум зависимости  $Y_1(\alpha)$  и более слабые максимумы  $Y_{2,6}(\alpha)$  и  $Y_7(\alpha)$ .

Когда параметр  $A$  становится равным  $2/3$ , профиль скорости (1.3) утрачивает характерный максимум внутри канала. При этом внутренние возмущения совпадают с верхними пристенными. Таким образом, при  $A \geq 2/3$  в спектре малых возмущений присутствуют лишь одни пристенные возмущения. Утрачивается и преобладание числа нижних пристенных возмущений над верхними.

На фиг. 5 изображено поведение  $Y_n(\alpha)$  для первых четырех спектральных номеров при  $A = 0.75$ . Деление пристенных возмущений при этом значении  $A$  на верхние и нижние происходит следующим образом: возмущения с  $n = 1, 4, 5, 8, \dots$  относятся к нижним пристенным, возмущения с  $n = 2, 3, 6, 7, \dots$  — к верхним.

Когда  $\alpha$  лежит в интервале  $10^{-4} \div 10^{-2}$ , в спектре наблюдается пересечение зависимостей  $X_n(\alpha)$ ,  $Y_n(\alpha)$ , однако слияния отдельных собственных значений не происходит. (При  $\alpha = 10^{-2}$  собственные значения расположены в порядке возрастания  $|Y_n|$  следующим образом: 1, 3, 2, 7, 5, 6, 4, 8, ..., с изменением  $\alpha$  этот порядок нарушается.)

Функция  $Y_1(\alpha)$  в этом интервале имеет слабый локальный максимум.

Аналогичные максимумы прослеживаются и на фиг. 2, 4, но в этих случаях они будут предвестниками слияния отдельных собственных значений в точках излома зависимостей  $c_n(\alpha)$ . Величины  $Y_n$  уже не имеют локальных максимумов в районе опасных  $\alpha$ . Их поведение в этом смысле напоминает поведение внутренних возмущений в рассмотренных случаях. Отметим, что в отличие от течения Куэтта (см. [8]) первое собственное значение здесь не будет всюду наиболее опасным.

Чтобы проследить характер перехода к течению Куэтта, были проведены численные расчеты для значений  $A$ , близких к 1. Отдельные зависимости  $c_n(\alpha)$  в области малых  $\alpha$ , следующей за асимптотической, имеют типичные куэттовские изломы, которые связаны с возникновением колебательных возмущений при  $A = 1$ . В плоскости  $Y$  наблюдается сближение отдельных собственных значений, отвечающих верхним и нижним пристенным возмущениям, которые сливаются при  $A = 1$ . Спектр малых возмущений течения Куэтта исследовался рядом авторов. Случай больших чисел Рейнольдса подробно изучен в [8].

**4.** Рассмотрим поведение возмущений в зависимости от числа Рейнольдса. Легко видеть, что уравнение (1.1) для  $\alpha^2 \ll 1$  хорошо приближается уравнением

$$\varphi^{IV} = i\alpha R [(u - c)\varphi^{II} - u''\varphi] \quad (|c \pm A| \gg \alpha^2) \quad (4.1)$$

Из этого уравнения видно, что собственные значения при этом зависят только от одного параметра  $\alpha R$ . Таким образом, имея численные результаты при одном  $R$ , можно априори делать заключения о зависимости  $c_n(\alpha)$  при других значениях  $R$  в области  $\alpha^2 \ll 1$  более широкой, чем область справедливости асимптотических выражений (2.1), (2.2).

Интервал изменения  $\alpha$ , в котором справедливо приведенное рассуждение, представляется весьма интересным, так как в нем происходит существенная перестройка спектра в сравнении с асимптотическим поведением.

Подмеченное обстоятельство можно использовать при проведении численных расчетов для различных чисел Рейнольдса. В качестве примера на фиг. 4 представлены зависимости  $Y_1(\alpha)$  для  $R = 10^6$  (кривая 8) и  $Y_1(\alpha)$  для  $R = 10^5$ , которые иллюстрируют справедливость приближения уравнения Орра — Зоммерфельда уравнением (4.1) в области  $\alpha^2 \ll 1$ .

В предыдущем пункте обращалось внимание на существование локальных максимумов у некоторых зависимостей  $Y_n(\alpha)$ . Наибольший интерес представляет поведение этих максимумов при увеличении  $R$ , так как их существование может быть сопряжено с дополнительной неустойчивостью. Проведенные численные расчеты, в которых использовались как «движение по непрерывности» [4], так и рассмотренная здесь аппроксимация, показывают, что неустойчивость течения Куэтта — Пуазейля связана только с первым собственным значением.

Значение  $A$ , полностью стабилизирующее поток, было найдено с помощью движения по непрерывности по максимуму  $Y_1(\alpha)$ . Оно оказалось равным 0.26, что находится в соответствии с результатами работ [1, 2]. На фиг. 4 (кривая 9) изображена зависимость  $Y_1(\alpha)$  при  $A = 0.23$ ,  $R = 10^5$ . При этих параметрах задачи поток еще неустойчив.

Автор благодарит М. А. Гольдштিকা за внимание к работе, В. А. Сапожникова за полезные обсуждения, В. Н. Штерна за большое содействие, помощь в работе и полезные обсуждения.

Поступила 20 XI 1969

## ЛИТЕРАТУРА

1. P o t t e r M. C. Stability of plane Couette — Poiseuille flow. J. Fluid Mech., 1966, vol. 24, pt 3.
2. H a i n s F. D. Stability of plane Couette — Poiseuille flow. Phys. Fluids, 1967, vol. 10, No. 9.
3. Б и р и х Р. В., Г е р ш у н и Г. З., Ж у х о в и ц к и й Е. М. О спектре возмущений плоскопараллельных течений при малых числах Рейнольдса. ПММ, 1965, т. 29, вып. 1.
4. Г о л ь д ш т и к М. А., С а п о ж н и к о в В. А. Устойчивость ламинарного потока в присутствии поля массовых сил. Изв. АН СССР, МЖГ, 1968, № 5.
5. С а п о ж н и к о в В. А. Решение задачи на собственные значения для обыкновенных дифференциальных уравнений методом прогонки. Тр. Всес. семинара по численным методам механики вязкой жидкости (II), Новосибирск, «Наука», 1969.
6. С а п о ж н и к о в В. А., Г о л ь д ш т и к М. А., Ш т е р н В. Н. Локальные свойства профиля скорости и гидродинамическая устойчивость. II Респ. конф. по аэрогидродинамике и теплообмену и массообмену (аннот. докл). Киев, 1969.
7. С а п о ж н и к о в В. А., Ш т е р н В. Н. Численный анализ устойчивости плоского течения Пуазейля. ПМТФ, 1969, № 4.
8. Ш т е р н В. Н. Спектр малых возмущений плоского течения Куэтта. ПМТФ, 1970, № 1.